



MIDLAND
EXPLORATION

TSX -V:MD



Alliance SOQUEM Fosse du Labrador



Octobre 2025

Alliance SOQUEM Fosse du Labrador :

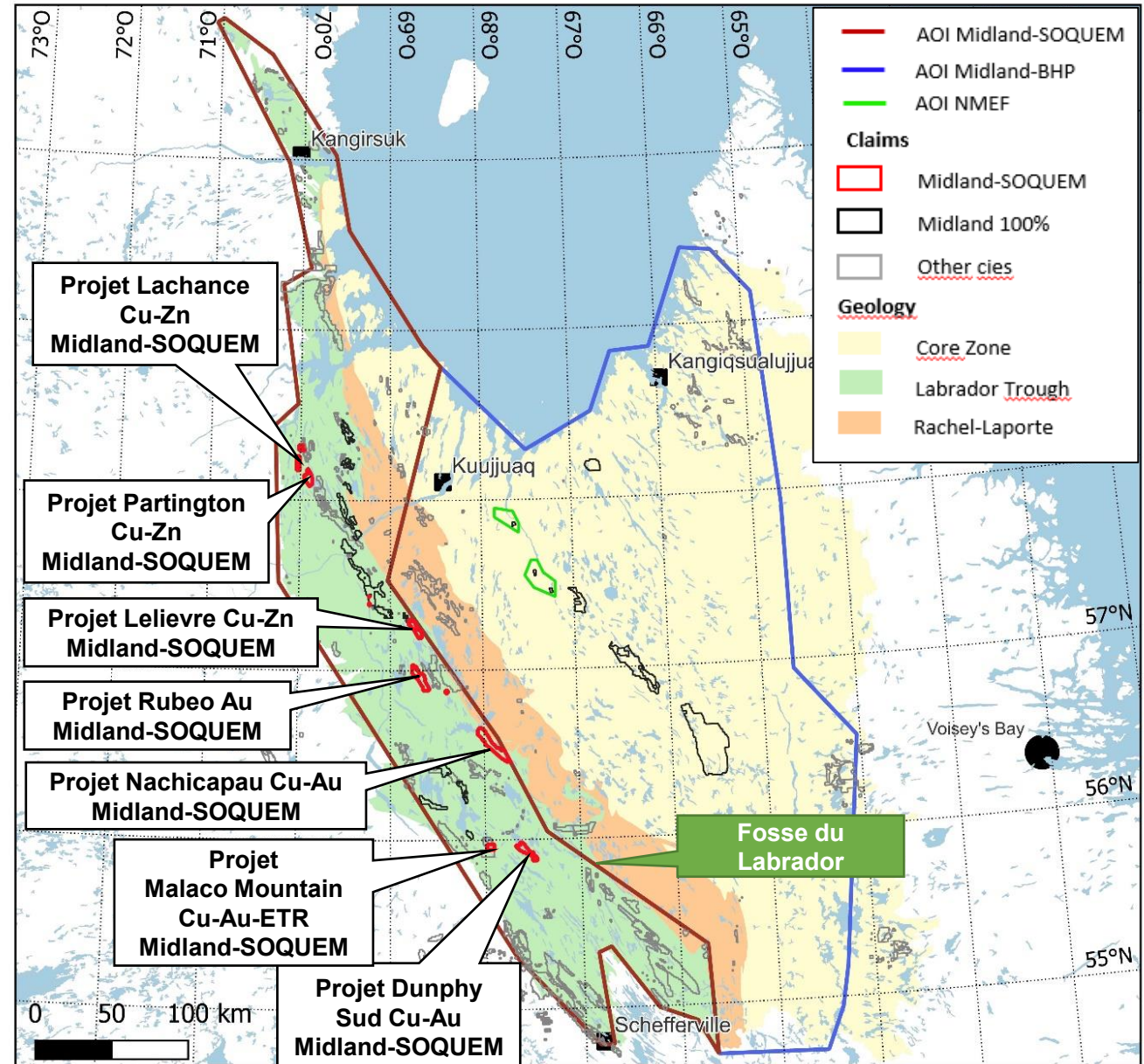
Faits saillants



- ✓ Alliance stratégique pour explorer les métaux de base et l'or dans la Fosse du Labrador.
- ✓ Projet Nachicapau Cu-Au, Zn-Cu:
 - ✓ Découverte en 2022 d'un indice Cu-Au à haute teneur : jusqu'à **1,49% Cu, 0,54 g/t Au, 11,41 g/t Ag / 4,0m** (rainures) ; **jusqu'à 14,75 % Cu, 8,42 g/t Au** (affleurement choisi)
 - ✓ Forte empreinte Cu dans les sols de l'horizon B avec la plupart des anomalies encore inexpliquées
 - ✓ Système oxydé avec assemblage métallique, séquence d'altération sodique, calco-silicatée et potassique **typique d'un modèle IOCG. Association possible avec des intrusions alcalines syénitiques.**
- ✓ Projet Malaco Mountain Cu-Au-ETR-Co : nouvelle occurrence de Cu-Au-ETR en 2025 qui a donné jusqu'à 31,6 % de Cu, 6,92 g/t d' Au et 0,16 % de REE (affleurement)
- ✓ Projet Dunphy Sud Cu-Co : nouvelle occurrence de Cu identifiée en 2024 qui a donné jusqu'à 3,73 % de Cu (éch. choisi) et d'autres teneurs économiques le long d'un axe magnétique orienté nord-ouest/sud-est sur une distance de 3,7 km.
- ✓ Projet Lelièvre Zn-Cu : nouveaux indices de Zn-Cu qui ont rapporté jusqu'à 5,6 % Zn en échantillons choisis le long d'un horizon favorable de plus de 5 km de long qui n'ont pas encore été testés en forage.
- ✓ Projet Partington Cu-Zn-Co: Sulfures massifs laminés de pyrite-pyrrhotite majeurs de 6 km x 3 km atteignant jusqu'à 80 mètres d'épaisseur qui n'ont jamais été testés en forage pour les sulfures de Cu-Zn-Co
- ✓ Projet Rubeo Au: Découverte d'un bloc de quartzite ayant titré jusqu'à **40,8 g/t Au** (échantillon choisi). Minéralisation similaire sur affleurements ayant donné **jusqu'à 1,15 g/t Au** (échantillons choisis)

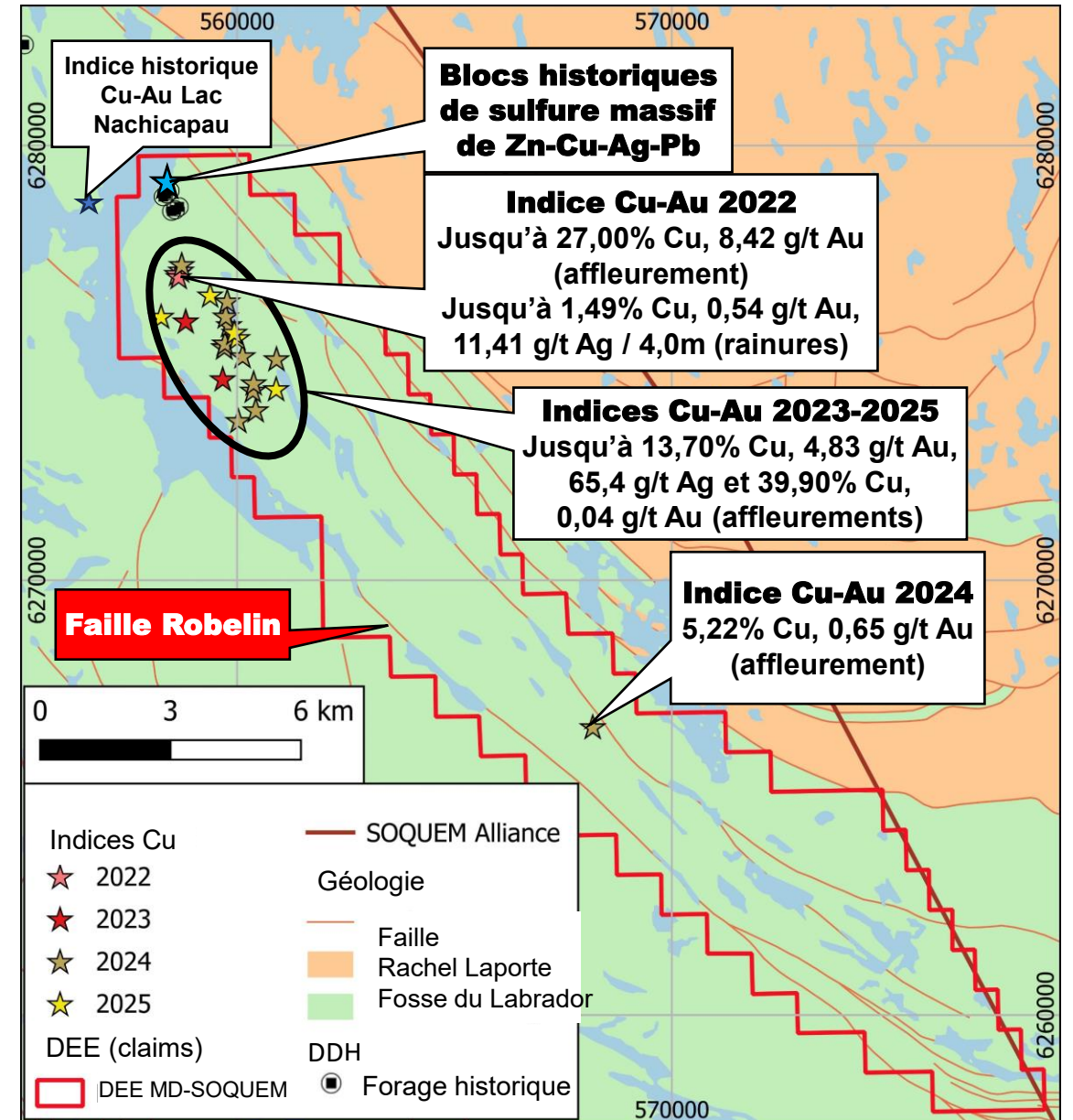
Localisation Alliance SOQUEM Fosse du Labrador

- Alliance stratégique pour explorer les métaux de base et l'or dans la Fosse du Labrador
- Sept projets différents depuis la désignation sur carte entre 2021 et 2024

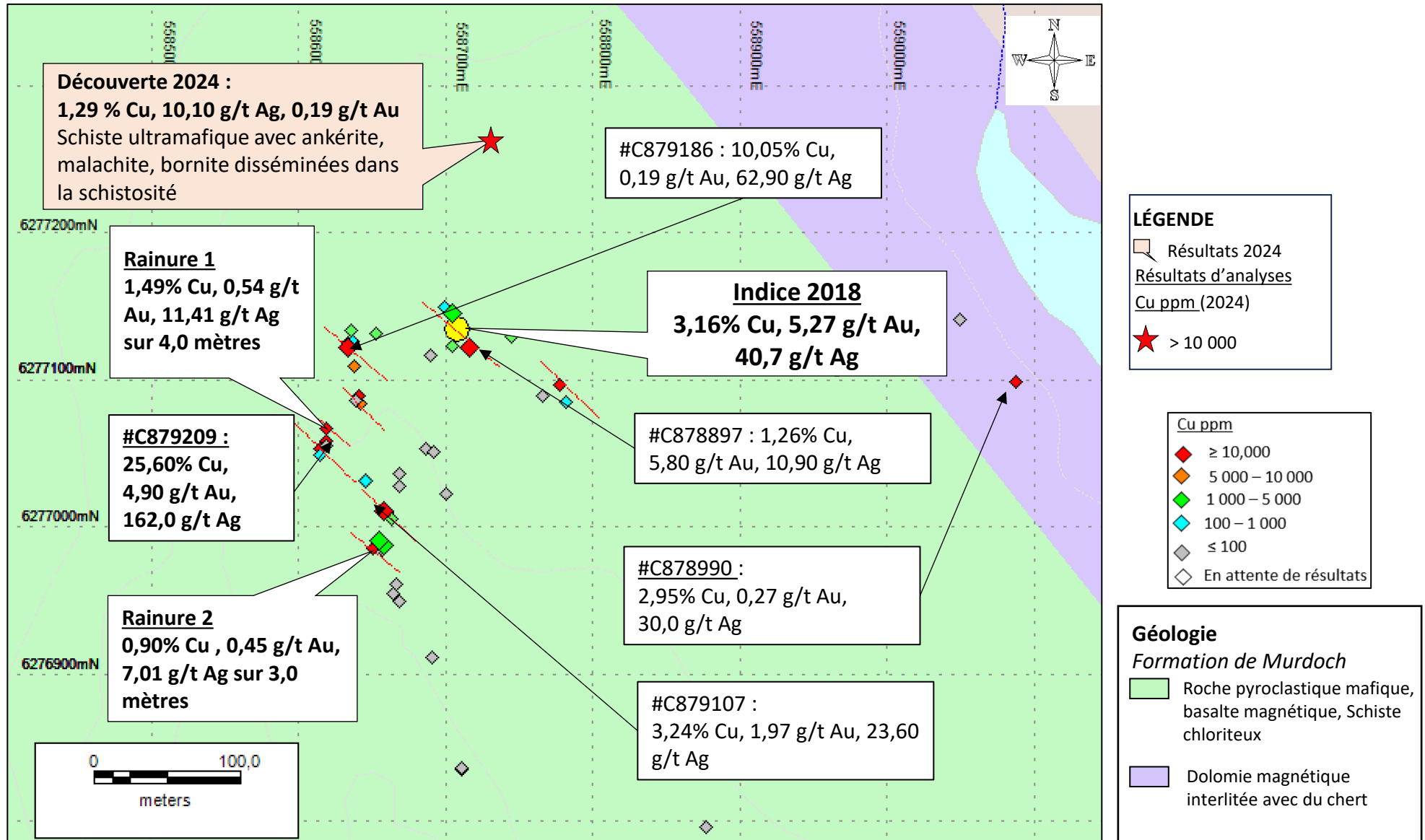


Projet Nachicapau cuivre-or

- **Blocs historiques de sulfures massifs Zn-Cu-Ag-Pb**
 - Meilleur résultat Zn : **13,25% Zn, 0,56% Cu, 11,6 g/t Ag, 0,12 g/t Au** (bloc choisi)
 - **Source non découverte**
- **Découverte en 2022 d'un indice Cu-Au à haute teneur**
 - **1,49% Cu, 0,54 g/t Au, 11,41 g/t Ag / 4,0m** (rainures)
 - 0,9% Cu, 0,45 g/t Au, 7,01 g/t Ag / 3,0m (rainures)
 - De nombreux échantillons choisis à haute teneur dans les veines :
 - **Jusqu'à 14,75% Cu et 8,42 g/t Au**
 - La minéralisation est associée à une zone de cisaillement et à des veines de tension avec des tufs ultramafiques. Cisaillement possiblement subsidiaire à la faille Robelin située à 1,5km au SO.
 - Découverte entre 2023 à 2025 de plusieurs indices Cu-Au haute teneur le long de la faille magnétique.
 - **Jusqu'à 13,70% Cu, 4,83 g/t Au**
- Levé PP en 2025 avec plusieurs anomalies identifiées
- **Les indices Cu-Au n'ont pas encore été forés-**
- **Grand projet à haut potentiel Cu-Au qui n'a encore été que partiellement exploré**



Nachicapau – Meilleurs résultats



Nachicapau Indice 2022 : Affleurement



(a) Affleurement montrant des veines de malachite – bornite

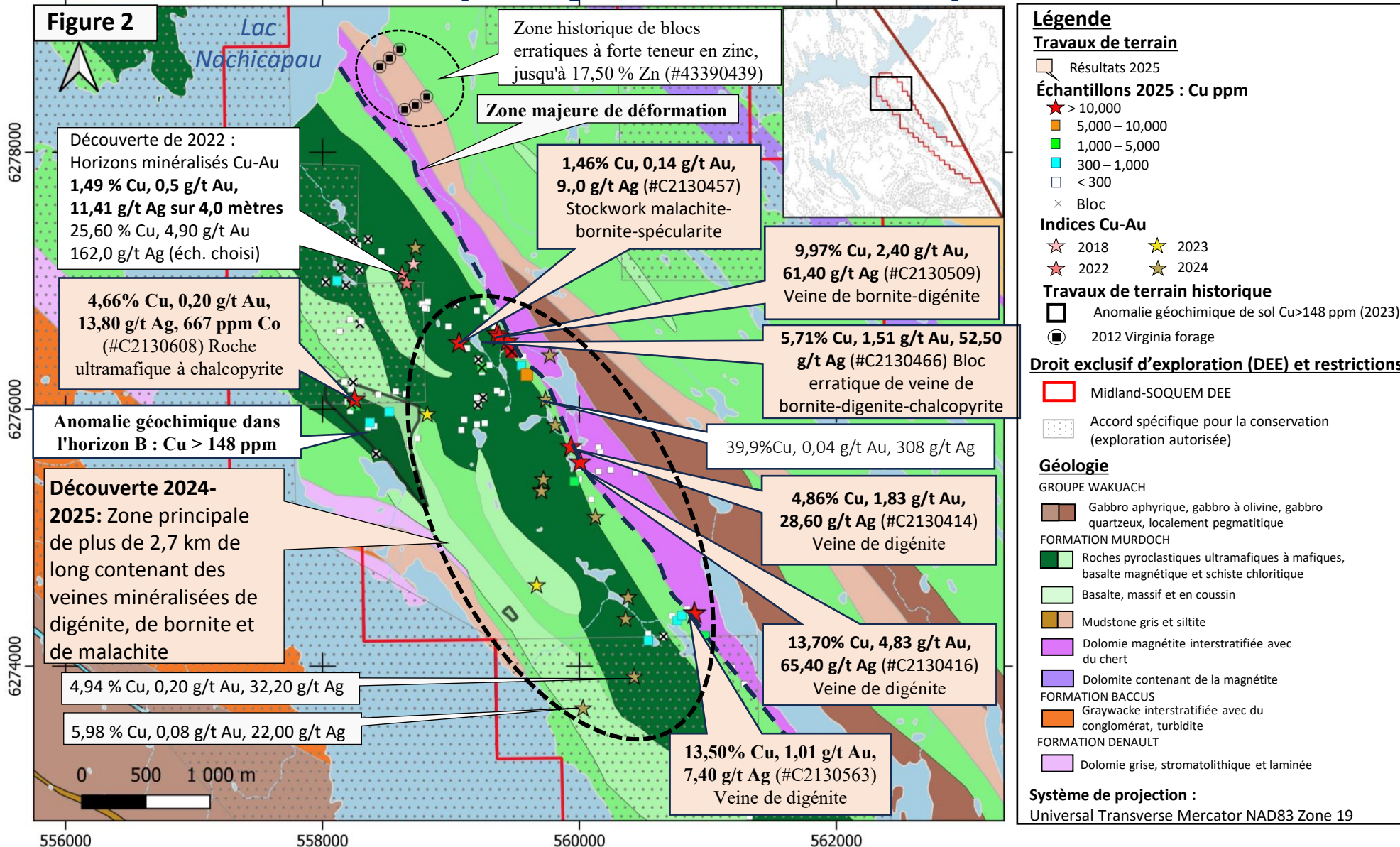


(b) Veines de malachite – bornite à la surface

Nachicapau Indice 2022 : Rainures



Meilleurs résultats 2025 sur le projet Nachicapau



Photos 2024 des échantillons de Nachicapau



39,90 % Cu, 308,00 g/t Ag, 0,04 g/t Au
Bornite, digénite, malachite massive dans
une veine dm de calcite (#C1456513)

23,90 % Cu, 238,00 g/t Ag, 1,40 g/t Au
veine de calcite, digénite, malachite,
bornite cm (#C1456119)



0,41 % Cu, 5,10 g/t Ag, 0,08 g/t Au
amas cm de malachite sécant dans
la schistosité du schiste à chlorite
(#C1456413)



#C1456119

Photos 2024 des échantillons de Nachicapau

5,98 %Cu, 22,00 g/t Ag, 0,08 g/t Au
 Minéralisation en malachite-digénite en remplissage de fractures (#C1456166)

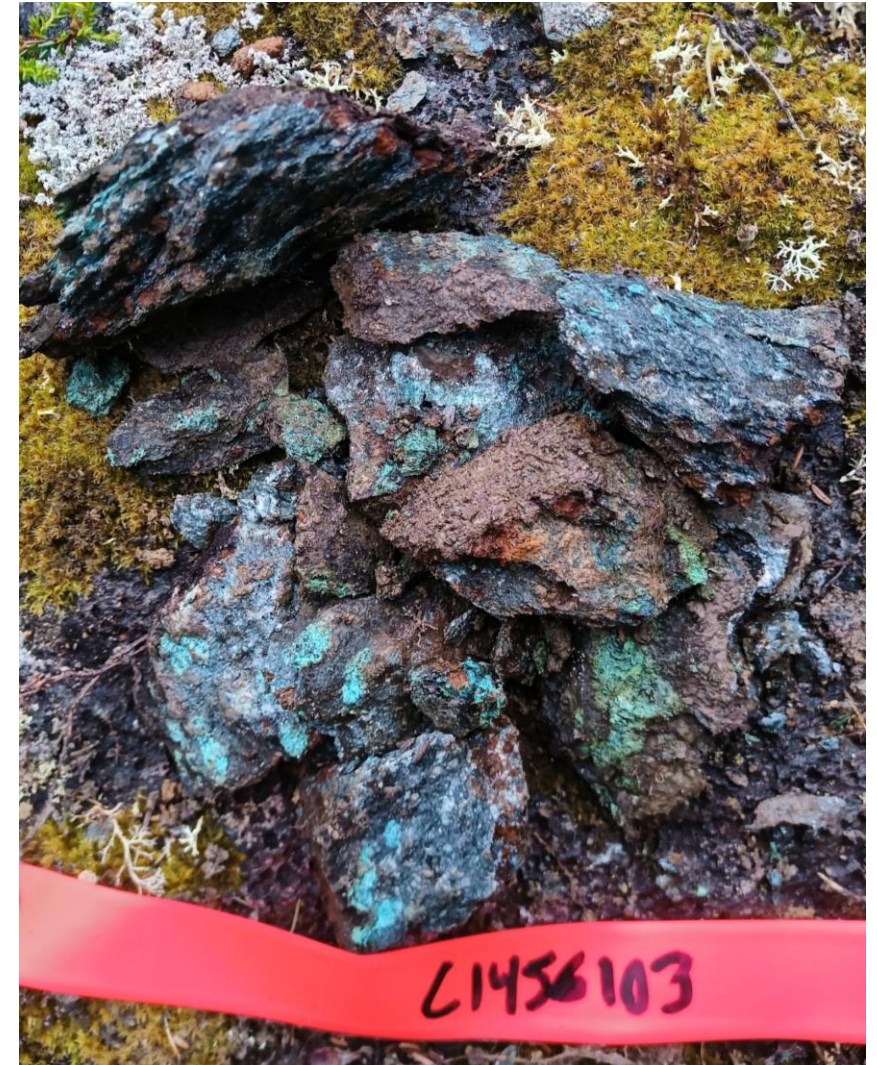


#C1456103



**1,29 % Cu, 10,10 g/t Ag,
 0,19 g/t Au**

schiste ultramafique à ankérite,
 15 % malachite, 1 % bornite
 dans la schistosité (#C1456103)



Échantillons 2025 collectés sur Nachicapau



#C2130416 : 13,70% Cu, 4,83 g/t Au, 28,60 g/t Ag
Amas de digénite et de malachite dans une veine de quartz et de calcite au sein d'une roche hôte mafique fortement altérée par l'épidote et l'albite



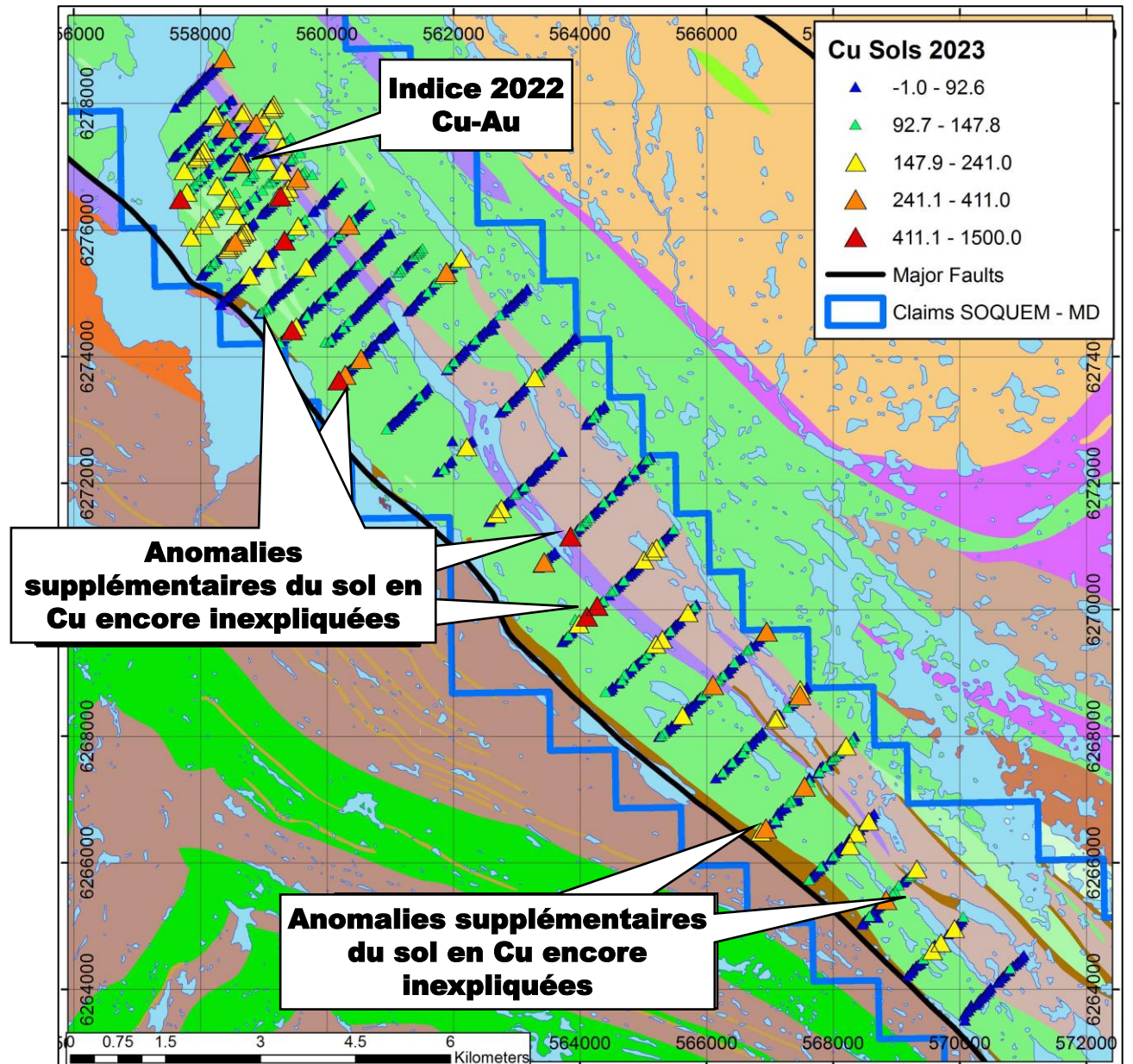
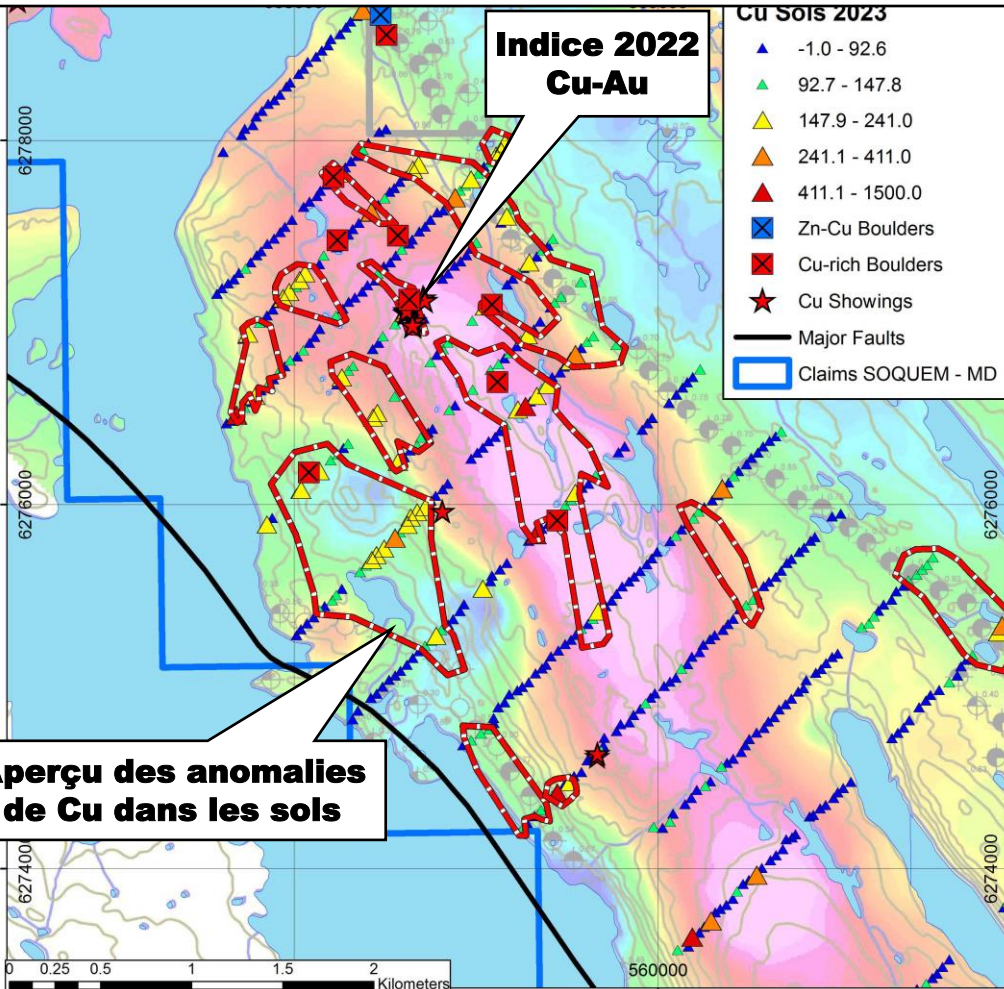
#C2130509 : 9,97% Cu, 2,40 g/t Au, 61,40 g/t Ag
Amas de digénite de la taille d'un centimètre dans une veine de calcite



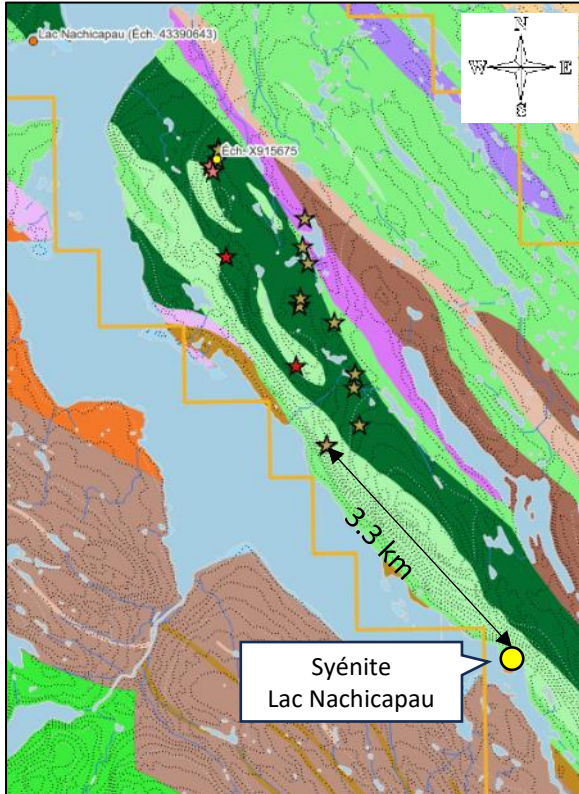
#C2130608 : 4,66% Cu, 0,20 g/t Au, 13,80 g/t Ag
Minéralisation de pyrite et de chalcoppyrite disséminée dans une roche ultramafique

Nachicapau Cu dans le levé de sol

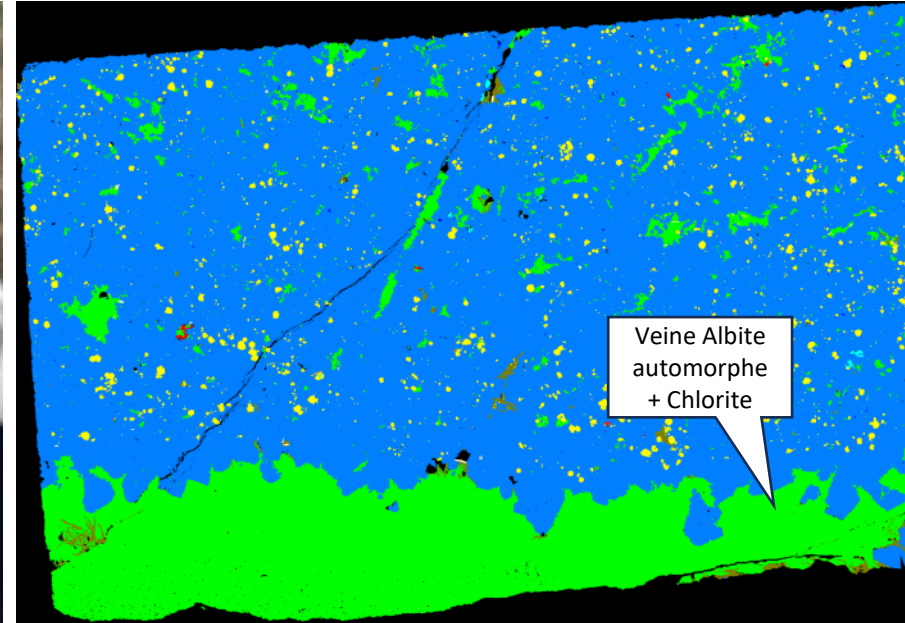
- De grandes zones de fortes anomalies en Cu dans l'horizon B sont encore inexplicuées le long de la stratigraphie favorable --> Des travaux de terrain supplémentaires sont nécessaires



Syénite du lac Nachicapau - ArtSECTION

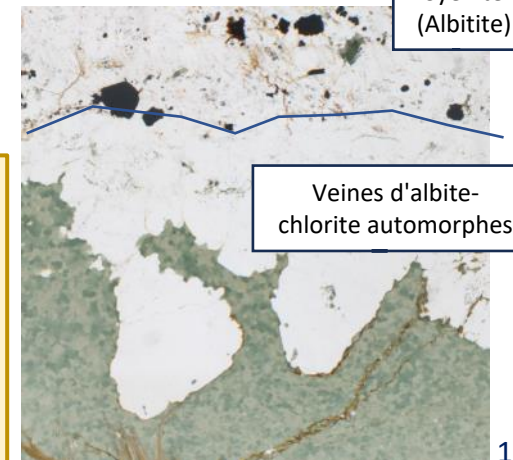


Roche alcaline altérée (165 ppm Nb, 892 ppm Zr) avec des traces de Py-Cpy



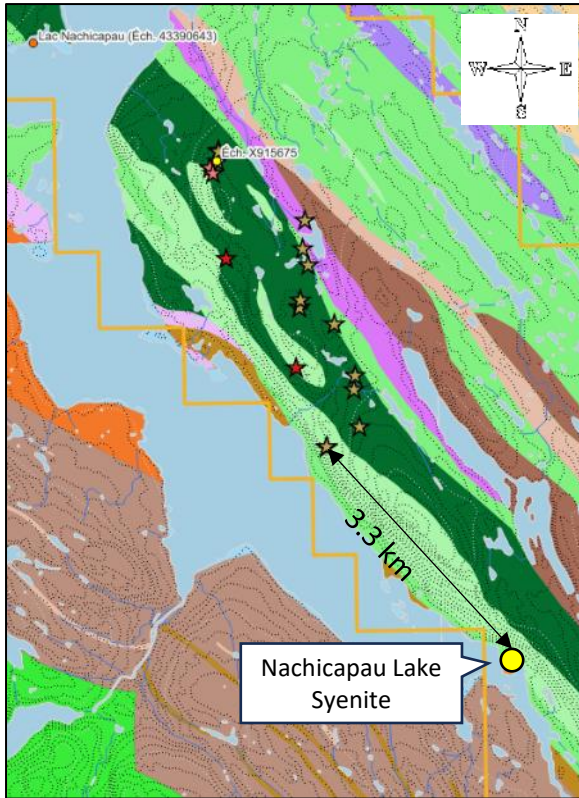
C565951			
Mineral	Couleur	Pixels	%Vol.
Albite		12094818	76.75
Chamosite		3087258	19.59
Oxide-Fe		414258	2.63
Stilpnomelane (1)		101247	0.64
Orthoclase		19497	0.12
Apatite (2)		12089	0.08
Ilmenite		10237	0.06
REE-Carbonate		6787	0.04
Quartz		6657	0.04
Zircon		2251	0.01
Ilmenite		1704	0.01
Euxenite (3)		605	0.004
Monazite		287	0.002
Calcite		245	0.002
Chalcopyrite		233	0.001
Pyrite		14	0.00009
Rutile		13	0.00008
Biotite		12	0.00008
Gypsum		7	0.00004
1 : Uncertain			
2 : Insufficient counts			
3 : Uncertain, insufficient counts			

- Presque de l'albite (76 % d'albite), avec de la chlorite-magnétite disséminée.
- Fractures avec albite euédrique-chlorite-stilpnomélane



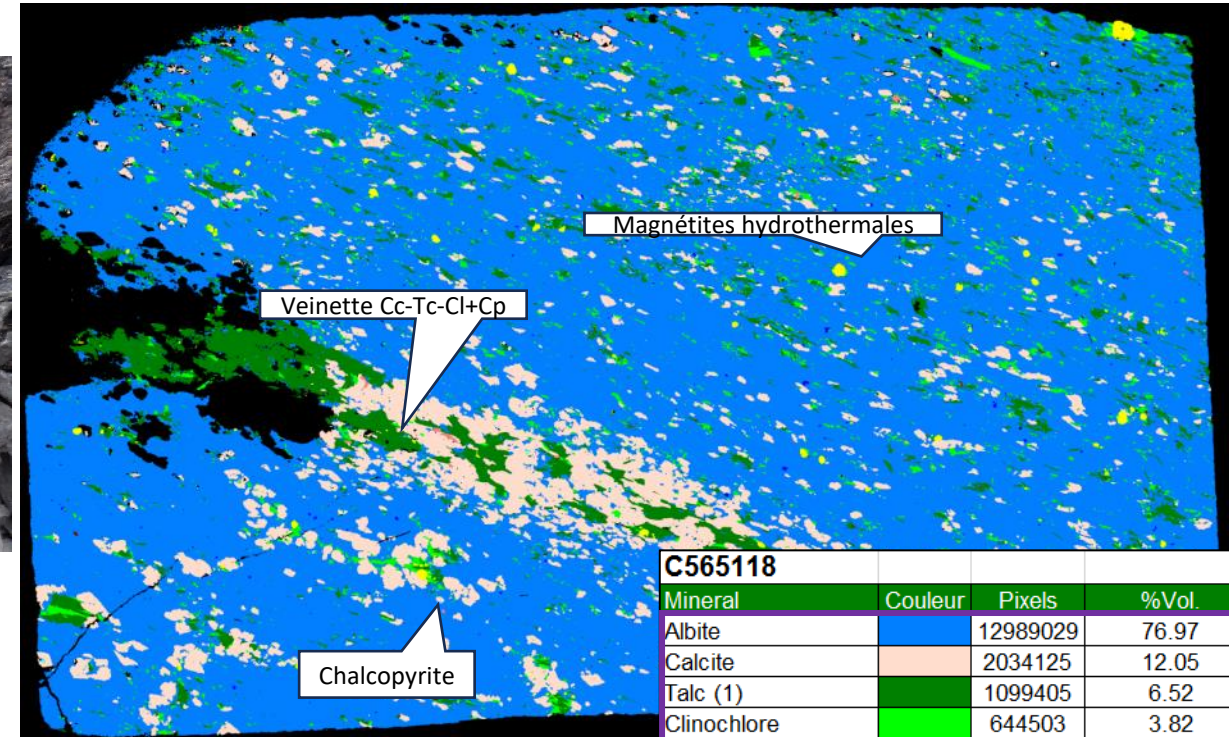
Plusieurs lames minces ont été préparées à partir de la syénite du lac Nachicapau. De façon inattendue, la **syénite présente une altération marquée**. Les observations pétrographiques indiquent qu'il s'agit d'une **albite surimposée par une altération à chlorite-magnétite**, avec de nombreuses veinules d'albite-chlorite. La magnétite présente une signature hydrothermale d'après l'analyse LA-ICP-MS.

Syénite du lac Nachicapau - ArtSECTION



C565118: Dyke intermédiaire altéré à schistosité de fracture, contenant 0,5 % de chalcoppyrite disséminée, recoupant un schiste mafique. **805 ppm Zr, 0,02 % Cu**

- Presque de l'albite (77 % d'albite) + Cc + Cl-Tc
- Foliation bien définie

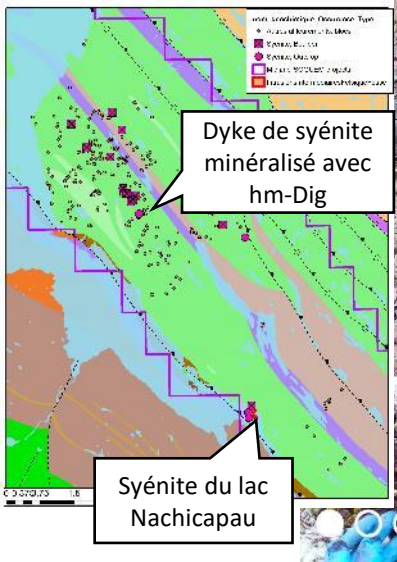
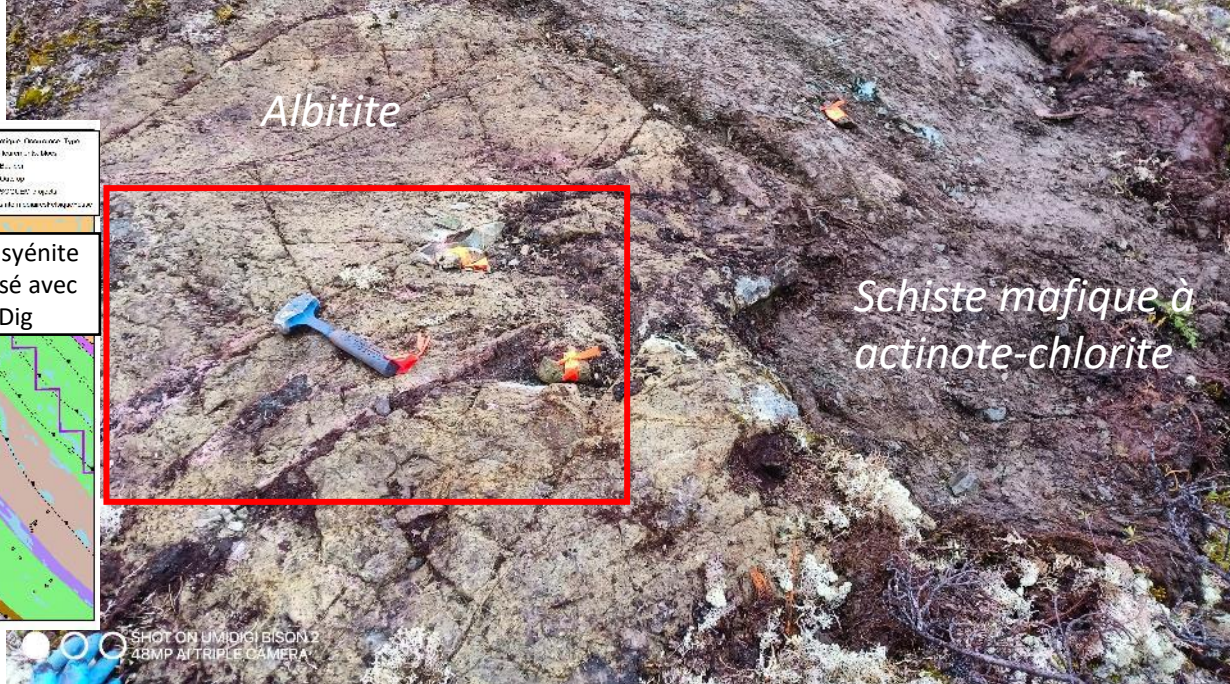


C565118			
Mineral	Couleur	Pixels	%Vol.
Albite		12989029	76.97
Calcite		2034125	12.05
Talc (1)		1099405	6.52
Clinochlore		644503	3.82
Oxide-Fe		61004	0.36
Apatite		15691	0.09
Allanite		14121	0.08
Chalcoppyrite		13058	0.08
Quartz		1968	0.01
Orthoclase		1250	0.007
Magnetite-Cr		120	0.0007
Ilmenite		82	0.0005
Rutile		47	0.0003
Dolomite		34	0.0002
REE-Carbonate		24	0.0001
1 : Uncertain			

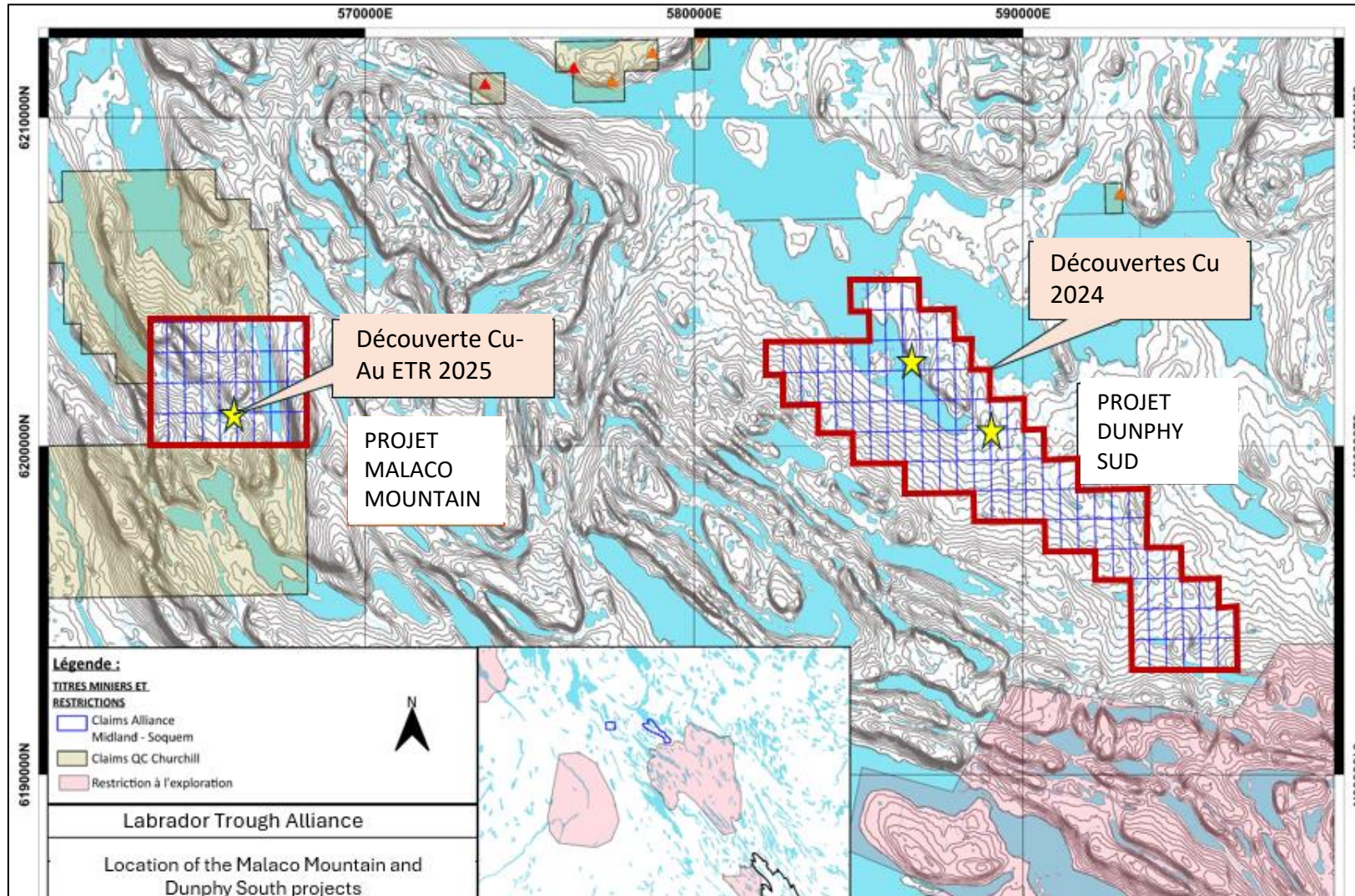
Dyke de syénite. Albite altérée en calcite, chlorite, talc et magnétite (la magnétite présentant des signatures hydrothermales d'après l'analyse LA-ICP-MS). Ce dyke de syénite est **nettement déformé** : le chlorite et le talc définissent une fabrique bien développée, et une schistosité de fracture est visible à l'affleurement. **Il est également minéralisé en cuivre, avec de la chalcoppyrite associée à la calcite!**

Syénite du lac Nachicapau

- Plusieurs dykes non identifiés auparavant, découverts plus au nord, se révèlent être de la syénite altérée (albitisée) et déformée d'après des données géochimiques (provenant à la fois de blocs et d'affleurements).
- La minéralisation hématite-digénite se produit au sein de ces dykes.
- Par conséquent, la minéralisation Cu–Au–Ag est clairement **PLUS JEUNE** que la syénite — **1 813 Ma** — et n'est pas une minéralisation à un stade précoce.



Localisation des projets Malaco Mountain et Dunphy Sud



Indice 2025 Malaco Mountain

Localisation des échantillons de roche 2025 sur un plan schématique – Projet Malaco Mountain

Légende

2025 Travaux

2025, Résultats juin

Cu %/Au ppm/ETR %

2025, Résultats septembre

Cu %/Au ppm/ETR %

2025 Échantillons

- ◆ > 1,00% Cu
- ◆ 0,10 – 1,00% Cu
- ◆ < 0,10% Cu

Minéralisation

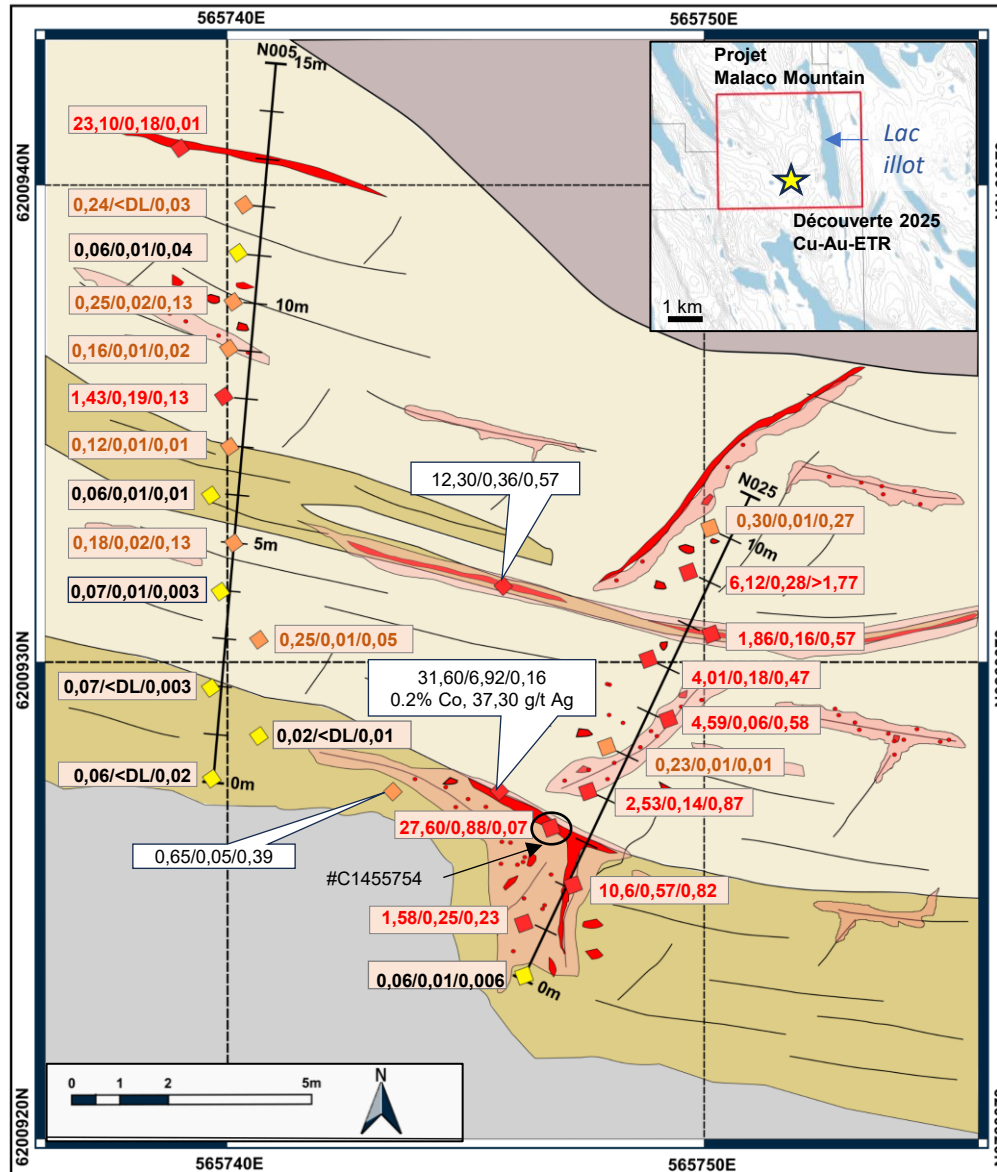
- Veine de chalcopryrite-pyrite massive à semi-massive
- Chalcopryrite en plaques et disséminée

Tache de malachite-azurite

Géologie

- Mort-terrain
- Gabbro, olivine gabbro
- Mudstone carbonaté / Mudstone siliceux

NAD 83 UTM Zone 19



**C1455754 : 27,60% Cu,
877 ppb Au, 0,06% ETR,
3450 ppm Co, 32,40 g/t Ag**

**C1455761 : 6,12% Cu,
280 ppb Au, 1,77% ETR,
675 ppm Co, 6,80 g/t Ag**

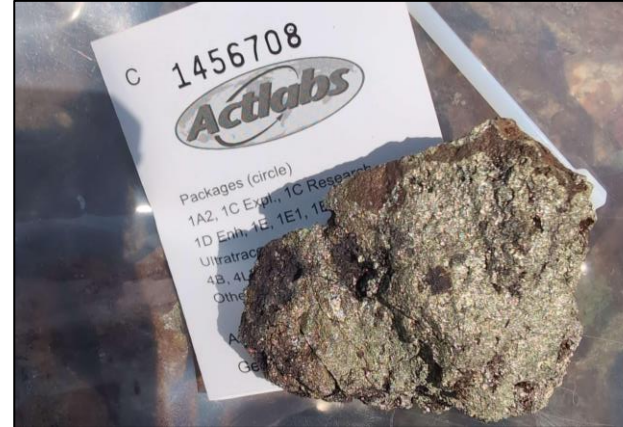
Horizon de sulfures massifs, sub-parallèle à la stratification, composé à 80 % de chalcopryrite massive, 5 % de pyrite fine et 10 % de malachite.

Veine de calcite cisailée, 10 % de chalcopryrite, 2 % de malachite

Échantillons 2025 – Projet Malaco Mountain



▲ Affleurement minéralisé de siltites et de mudstones alternés en bandes décimétriques



◀ #C1456708 : **31,60 % Cu, 6,92 g/t Au, 0,16 % ETR, 0,20 % Co, 37,30 g/t Ag**
Horizon massif de chalcopryrite, malachite, azurite

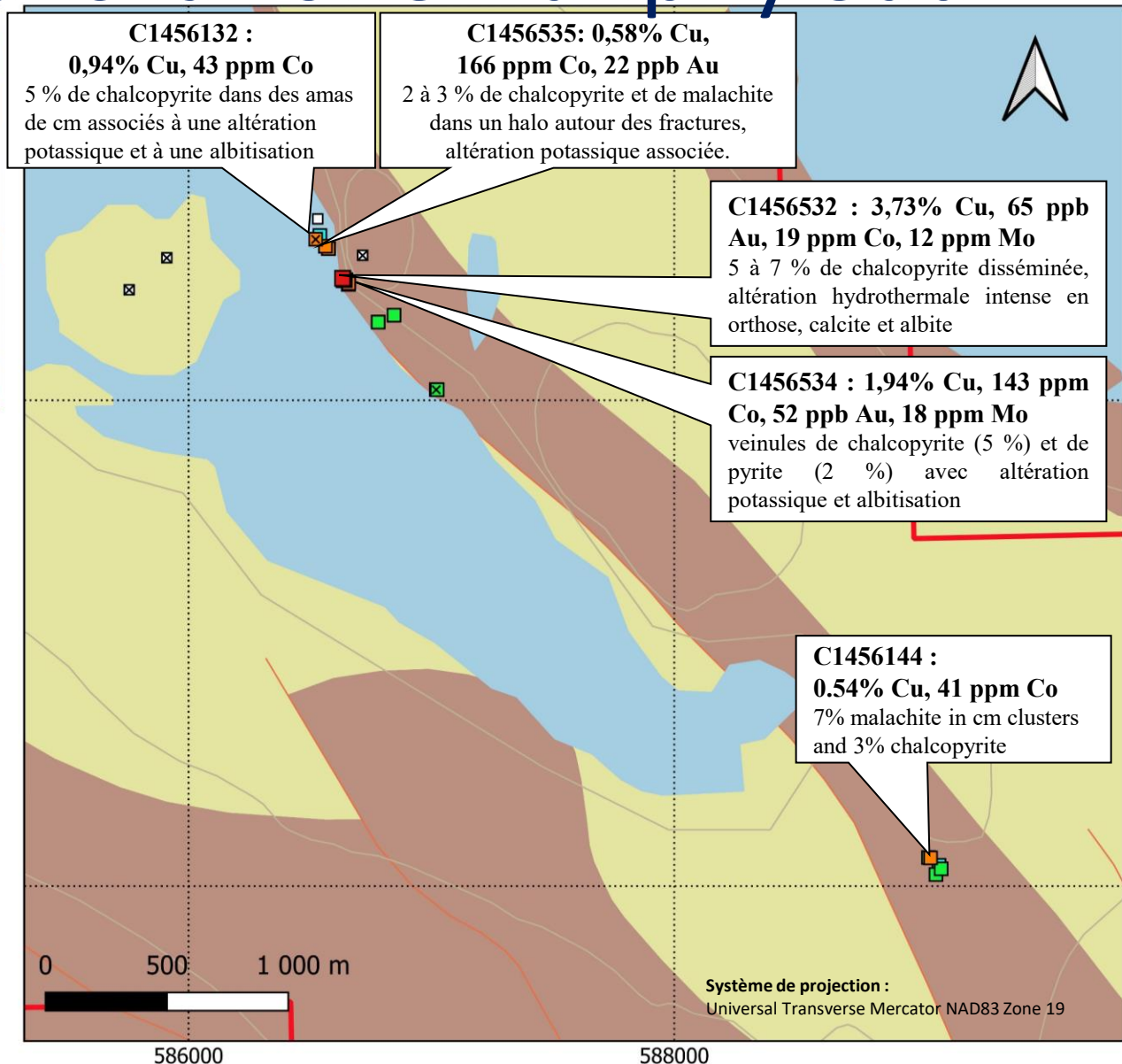
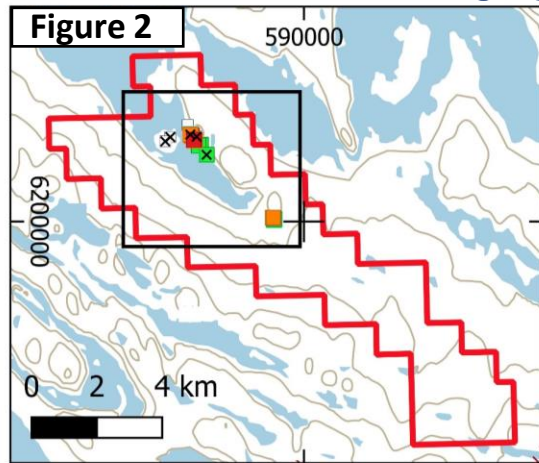


▲ #C1456709 : **0,39 % ETR, 0,65 % Cu, 0,05 g/t Au, 0,008 % Co, 1,20 g/t Ag**
Siltite minéralisée à 3 % de chalcopryrite et fortement carbonatée



▲ #C1456710 : **12,30 % Cu, 0,36 g/t Au, 0,57 % ETR, 0,02 % Co, 6,60 g/t Ag**
Veine de calcite et de malachite

Localisation des échantillons 2024 dans la zone Dunphy Sud



Travaux de terrain

Échantillons 2024

Cu ppm

- 8 - 300
- 300 - 1000
- 1000 - 5000
- 5000 - 10000
- 10000 - 50000

× Bloc

Claims minier

□ Délimitation des claims minier Midland-SOQUEM

Géologie

FORMATION WAKUACH

■ Gabbro aphyrique, gabbro à olivine

FORMATION CHAKONIPAU

■ Grès arkosique, conglomérat polygénique, siltite et mudstone

— Faille

Échantillons 2024 collectés dans la zone Dunphy Sud

C1456532 : 3,73% Cu, 65 ppb Au, 19 ppm Co, 12 ppm Mo

Unité intrusive minéralisée avec 5 à 7 % de chalcopysite disséminée et présentant une altération hydrothermale intense en orthose, calcite et albite.



C1456144 : 0,54% Cu, 41 ppm Co

Affleurement de gabbro épidotisé contenant 7 % de malachite et 3 % de chalcopysite



C1456534 : 1,94% Cu, 143 ppm Co, 52 ppb Au, 18 ppm Mo

Gabbro affecté par des veinules de chalcopysite (5 %) et de pyrite (2 %) avec altération potassique et albitisation associée



< C1456034 : 0,47% Cu, 57 ppm Co

Affleurement de gabbro épidotisé et hématisé, affecté par des fractures et des veinules de calcite contenant 2 % de chalcopysite et de malachite et dans un halo



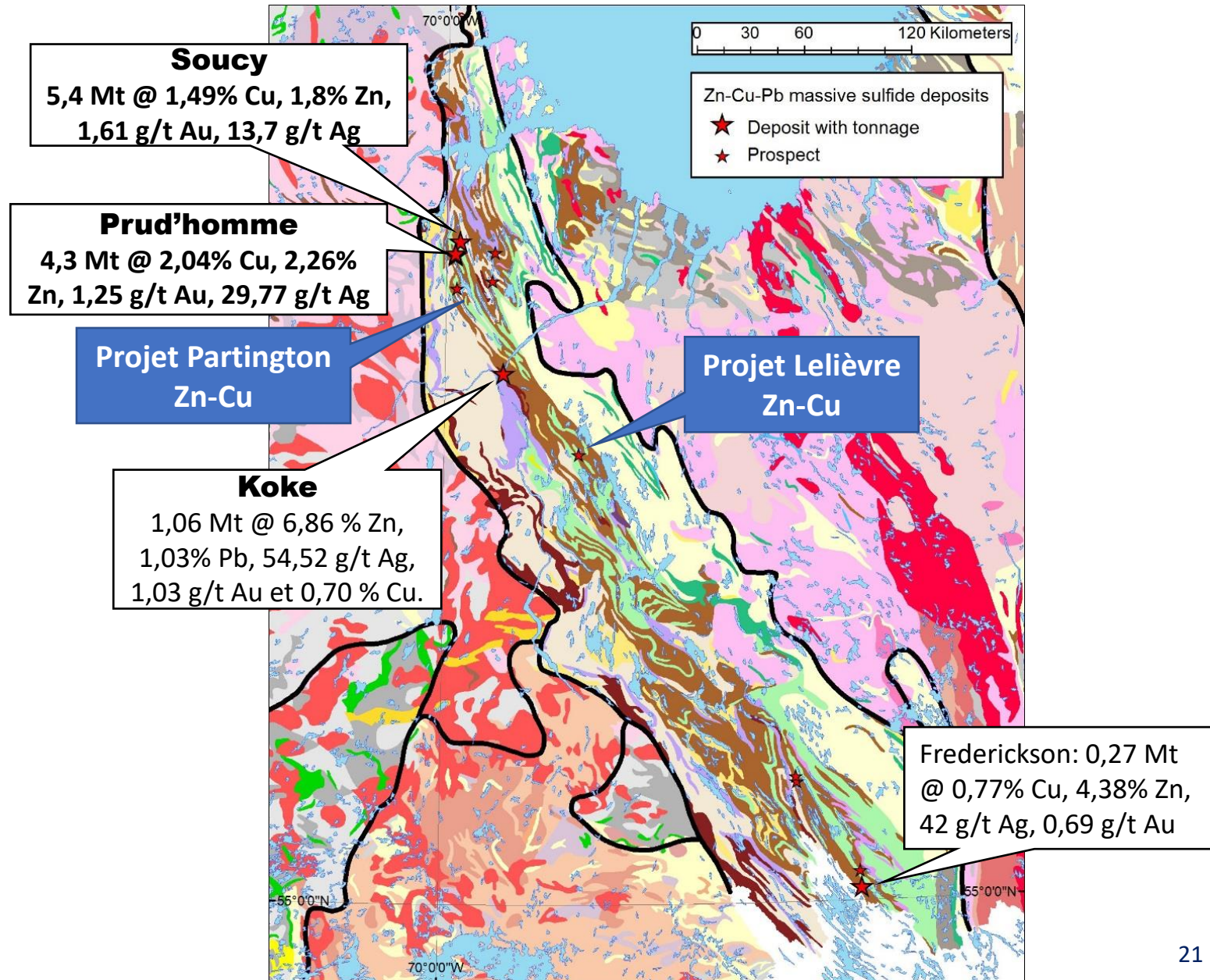
< C1456312 : 0,51% Cu, 41 ppm Co

Affleurement de gabbro épidotisé et hématisé affecté par des veinules de calcite contenant 5 % pyrite, chalcopysite et malachite

Cu-Zn-Co, Zn-Cu Sulfures massifs dans la Fosse du Labrador

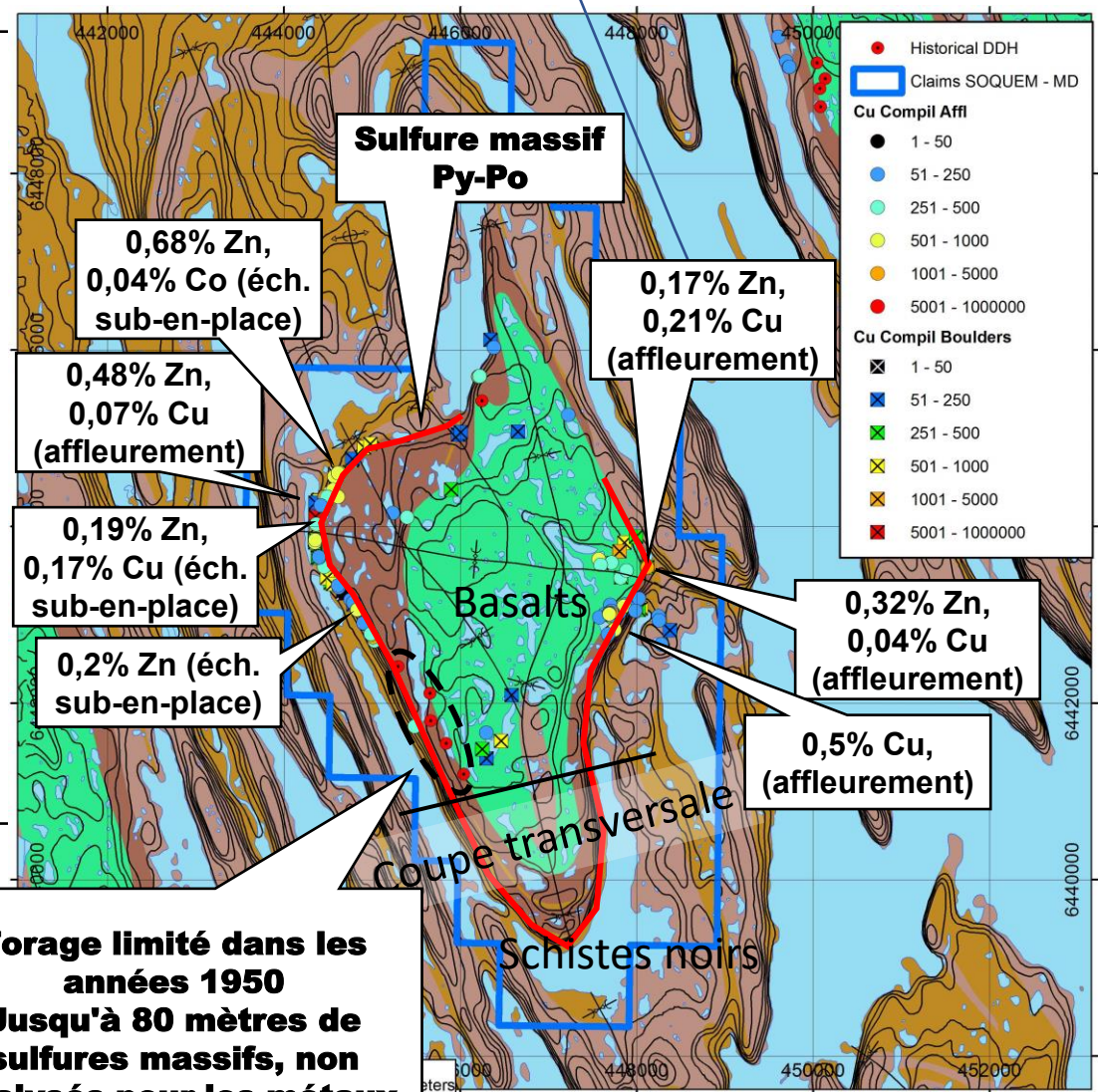


- De grands gisements de sulfures massifs de Cu-Zn-Co, Zn-Cu-Pb, mafiques-siliclastiques (type Besshi) sont connus dans la Fosse du Labrador.
- Les gisements de sulfures massifs mafiques-siliclastiques de Cu-Zn-Co peuvent être de très grande taille
 - Ex: Gisement Windy Craggy en Colombie-Britannique: **297,4 Mt à 1,38% Cu, 0,25% Zn**
- La Fosse du Labrador est une zone à fort potentiel de sulfures massifs mafiques-siliclastiques qui a été principalement explorée dans les années 1950 et 1960 et très peu depuis.
- Deux projets Midland - SOQUEM ciblent les sulfures massifs mafiques-siliclastiques : Lelièvre, Partington



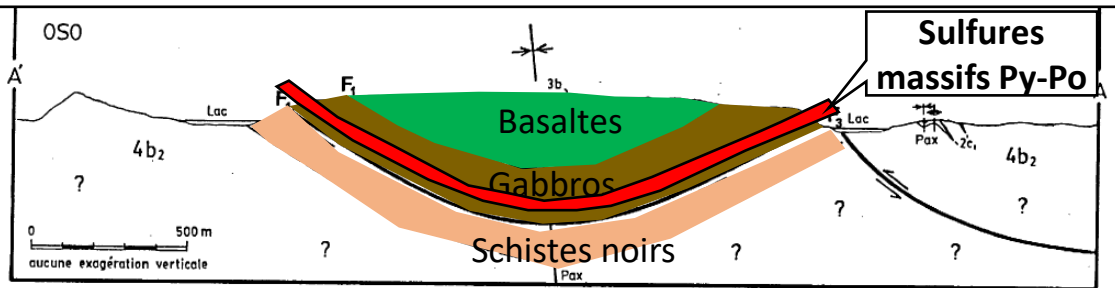
Partington sulfures massifs

- **Sulfures massifs laminés de pyrite-pyrrhotite (Py-Po) très étendus** dans des schistes noirs juste sous les basaltes d'Hellancourt - Localisation favorable qui héberge de gros sulfures massifs de Cu-Zn-Co dans la région
- Au niveau régional, **de vastes unités de sulfures massifs Py-Po similaires coiffent souvent une minéralisation économique de Cu-Zn-Co** (voir diapositive suivante)
- Basée sur les affleurements, la couche de sulfures massifs mesure **environ 6 km de long sur 3 km de large, avec un faible pendage dans un synclinal ouvert** - Grande surface à faible profondeur pouvant accueillir des sulfures de Cu-Zn-Co
- Des forages limités dans une seule zone dans les années 1950 ont intersecté **jusqu'à 80 mètres de sulfures massifs**, qui ont été analysés que pour le soufre.
- L'échantillonnage de surface des sulfures massifs depuis 2021 a identifié **plusieurs zones présentant des valeurs anormales de Cu, Zn, Co** qui pourraient indiquer une minéralisation économique de Cu-Zn-Co à proximité.



Forage limité dans les années 1950
Jusqu'à 80 mètres de sulfures massifs, non analysés pour les métaux de base (soufre)

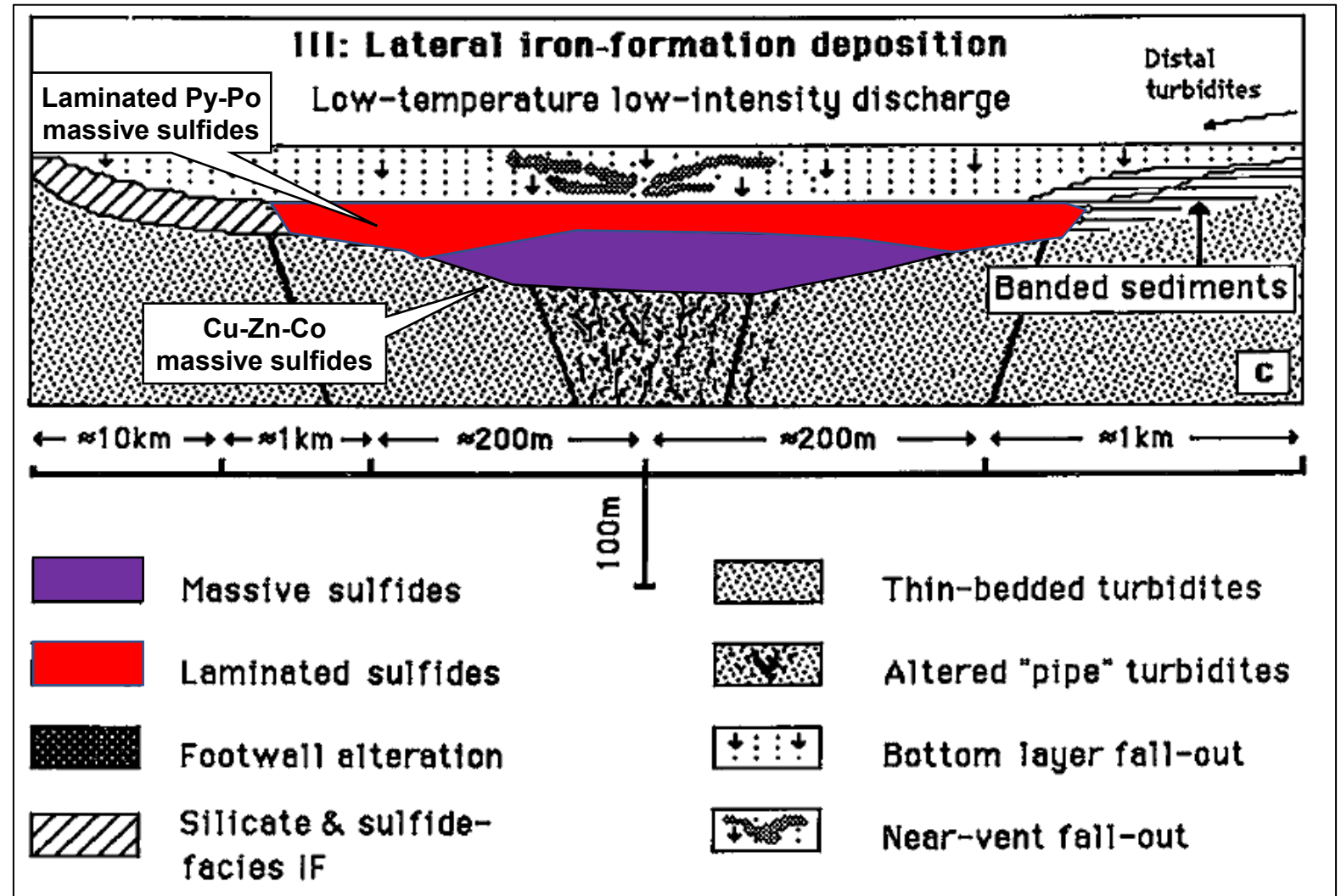
Coupe transversale des sulfures massifs laminés Py-Po de Partington



Modifié à partir de Wares et al., 1989

Sulfures massifs en couches

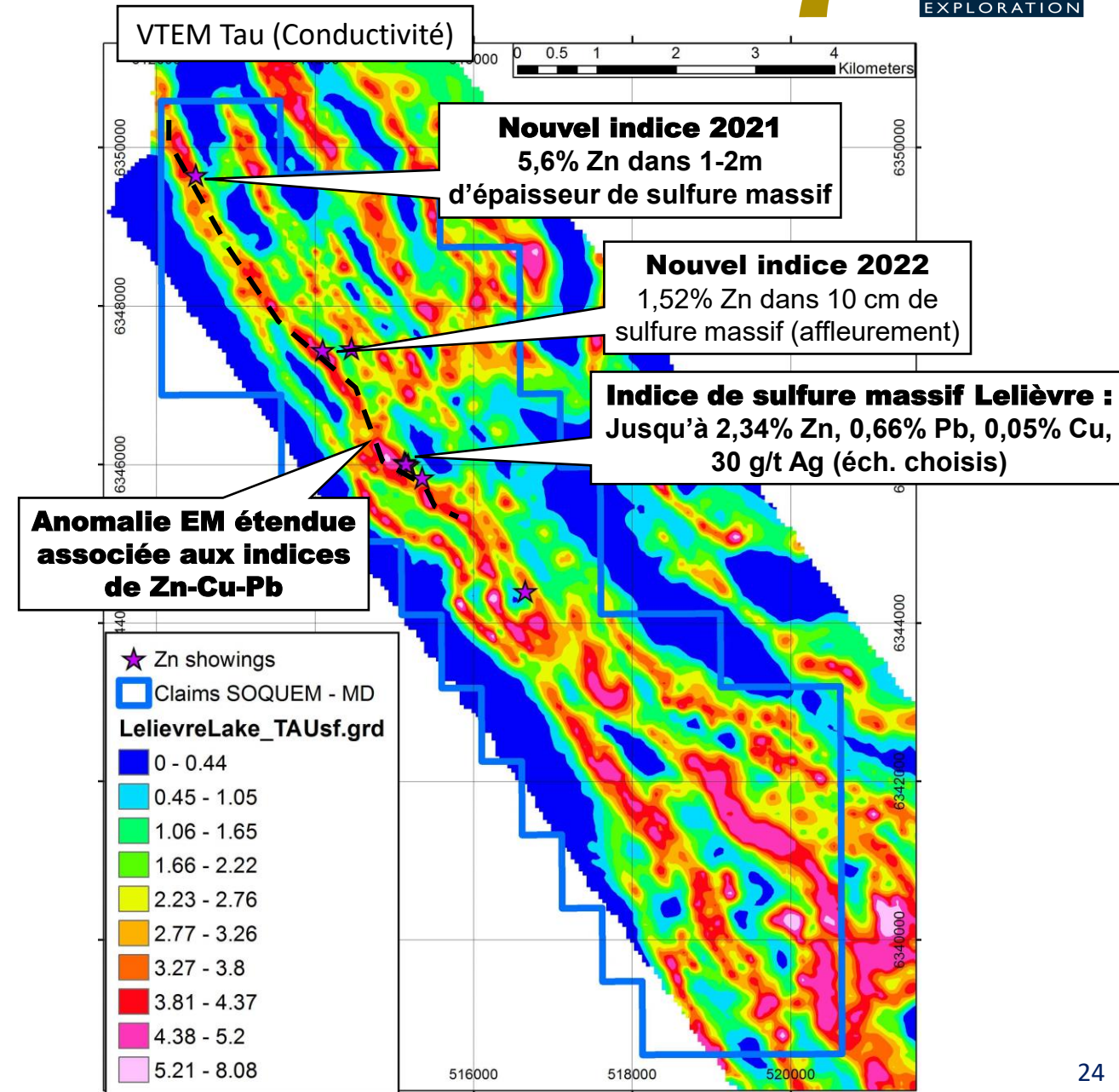
- Au niveau régional, les sulfures massifs laminés de pyrrhotite-pyrite (stériles) recouvrent et s'étendent plus loin des sulfures massifs économiques sous-jacents de Cu-Zn-Co.
- Ex : aux gisements de sulfures massifs Soucy et Prud'homme



De Barrett et al., 1988

Projet Lelièvre cuivre-zinc

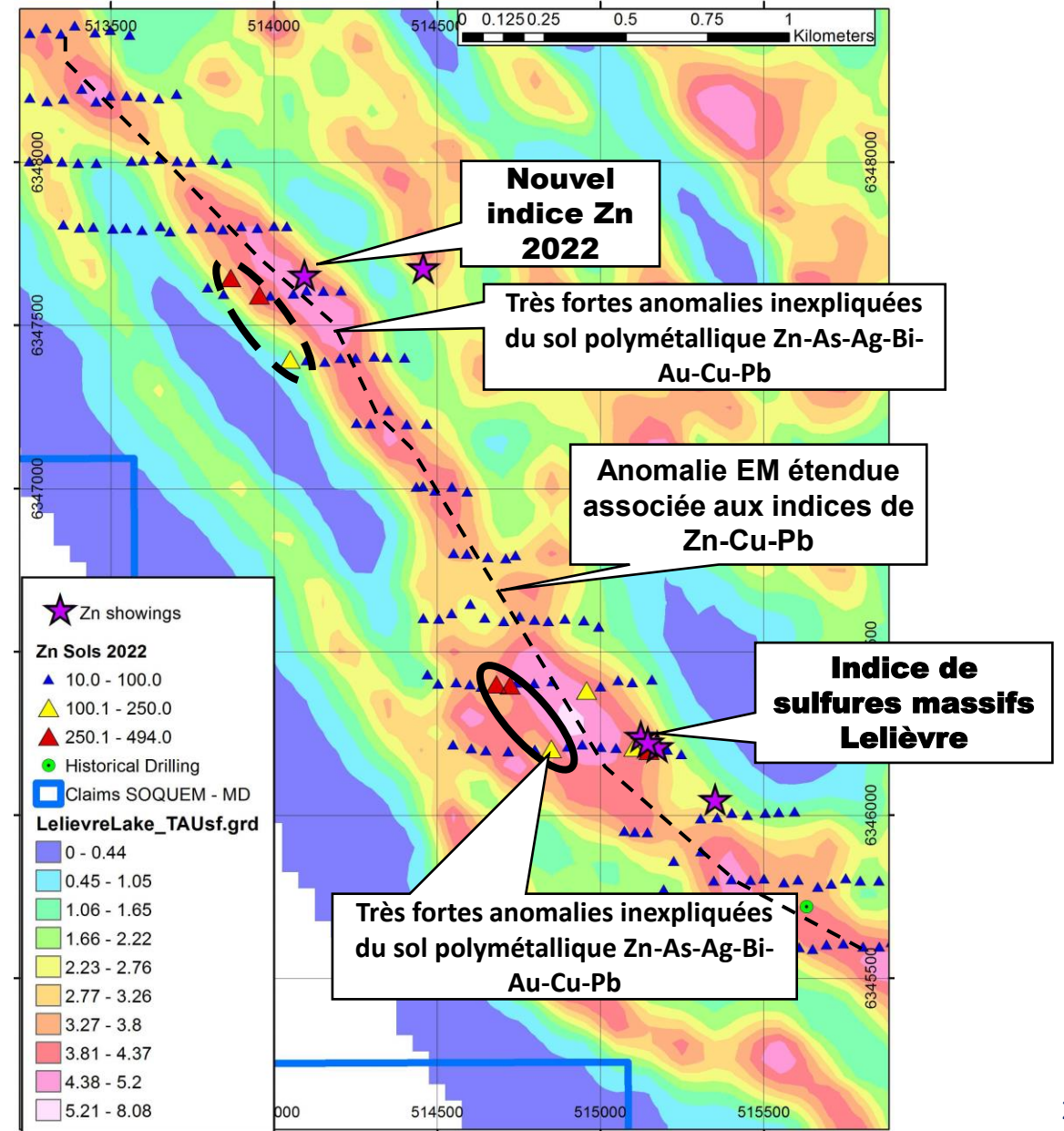
- Indice historique de sulfures massifs Zn-Cu-Pb-Ag Lelièvre; Rééchantillonnage 2021 (éch. choisis) :
 - **2,34% Zn, 0,66% Pb, 0,05% Cu, 30 g/t Ag**
 - 0,93% Zn, 0,47% Cu, 0,15% Pb, 10 g/t Ag
 - Aucun forage historique sur cet indice
- Nouveaux indices Zn découverts en 2021-2022:
 - **5,6% Zn, 0,14% Cu: couche de sulfures massifs de 1-2m d'épaisseur (échantillon choisi) - 4,5 km au nord-ouest de l'indice historique Lelièvre**
 - **1,52% Zn : couche de sulfures massifs de 10 cm d'épaisseur (échantillon choisi)**
- L'enquête VTEM de 2021 a mis en évidence une **anomalie EM régionale associée à la minéralisation connue de Zn-Cu**
- **Forages historiques limités dans la région (5 sondages dans les années 1960, tous à moins de 100 mètres de profondeur)**



Projet Lelièvre cuivre-zinc – Levé de sol 2022

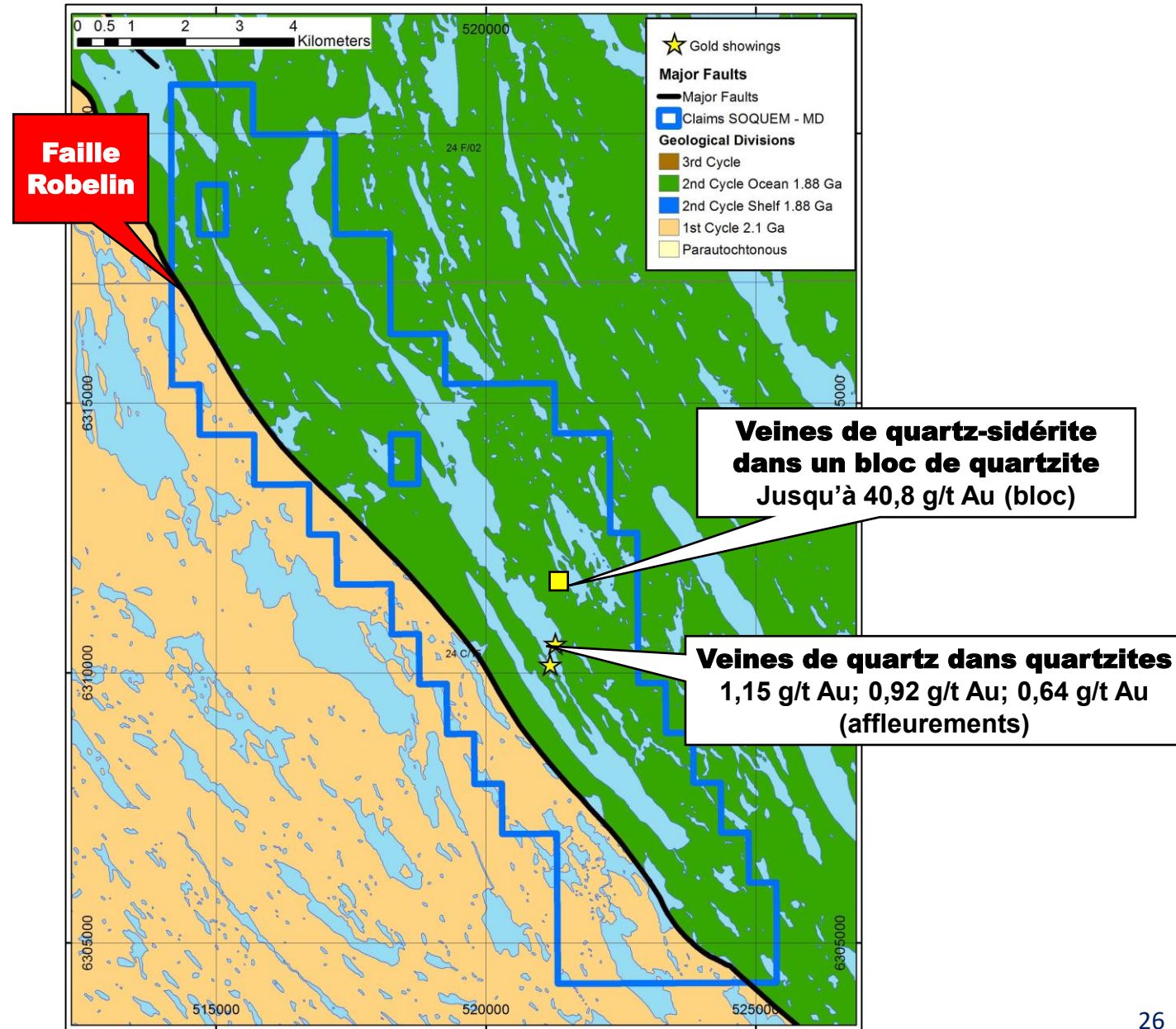
- Levé de sol 2021 couvrant les anomalies EM régionales associées aux indices de Zn connus
- **De très fortes anomalies polymétalliques des sols Zn-As-Ag-Bi-Au-Cu-Pb n'ont pas eu de suivies et restent encore inexplicées, proches de l'anomalie régionale EM**

1. 3 anomalies sur 2 lignes (espacées de 200 m), 250 m à l'ouest de l'indice Lelièvre
2. 3 anomalies réparties sur 3 lignes (total espacé de 300 m), à l'ouest de l'indice 1,52 % Zn



Projet Rubeo Au

- Découverte en 2021 d'un bloc de quartzite avec des veines de quartz-sidérite ayant titré **jusqu'à 40,8 g/t Au** (échantillon choisi)
- La prospection en 2022 a découvert une minéralisation similaire sur des affleurements qui a donné les valeurs aurifères suivantes :
 - **1,15 g/t Au; 0,92 g/t Au; 0,64 g/t Au** (échantillons choisis)
- **À proximité de la faille Robelin**, qui contrôle la majorité des minéralisations Au et Cu-Au dans la Fosse du Labrador
- **Aucun forage historique sur le projet**
- **La zone est sous-explorée et vaste - Projet de 15 km de long** - Plus d'exploration est nécessaire pour évaluer pleinement le potentiel aurifère de la zone



Bloc aurifère Rubeo



Veine de quartz-sidérite dans un bloc de quartzite
Jusqu'à 40,8 g/t Au (bloc)



Indice aurifère sur Rubeo, affleurement

**Veine de quartz-pyrite dans un
affleurement de quartzite**
1,15 g/t Au (éch. choisi)



**Veine de quartz-pyrite dans un
affleurement de quartzite**
0,64 g/t Au (éch. choisi)

